

**PONTIFÍCIA UNIVERSIDADE CATÓLICA DO RIO GRANDE DO SUL
FACULDADE DE INFORMÁTICA
BACHARELADO EM CIÊNCIA DA COMPUTAÇÃO**

MAPEAMENTO DE RECURSOS SOB COMPUTAÇÃO EM NÉVOA

FELIPE BRIZOLA BERGUES DURO

Proposta de Trabalho de Conclusão apresentada como requisito parcial à obtenção do grau de Bacharel em Ciência da Computação na Pontifícia Universidade Católica do Rio Grande do Sul.

Orientador: Prof. Prof. Dr. Sérgio Johann Filho

**Porto Alegre
2018**

LISTA DE FIGURAS

Figura 2.1 – Requisição e resposta utilizando mensagens não confirmáveis.	9
Figura 3.1 – Organização arquitetural.	12
Figura 3.2 – Pilha de protocolos.	13
Figura 4.1 – Cronograma de atividades.	16

LISTA DE ALGORITMOS

LISTA DE SIGLAS

BGP – Border Gateway Protocol

COAP – Constrained Application Protocol

HTTP – Hypertext Transfer Protocol

IP – Internet Protocol

LE – Low Energy

NIST – National Institute of Standards and Technology

TCC – Trabalho de Conclusão de Curso

TCP – Transmission Control Protocol

RFC – Request for Comments

UDP – User Datagram Protocol

SUMÁRIO

1	INTRODUÇÃO	6
1.1	CONTEXTUALIZAÇÃO	6
1.2	MOTIVAÇÃO E JUSTIFICATIVA	7
1.3	OBJETIVO	7
2	FUNDAMENTAÇÃO TEÓRICA	8
2.1	BGP	8
2.2	COAP	8
2.3	CONSTRAINED RESTFUL ENVIRONMENTS (CORE) LINK FORMAT	10
2.4	TRABALHOS RELACIONADOS	11
3	PROPOSTA DE TRABALHO	12
3.1	ARQUITETURA	12
3.2	MÓDULOS	13
3.2.1	DESCOBERTA E SINCRONIZAÇÃO DE RECURSOS	13
3.2.2	MIDDLEWARE	14
3.3	RESULTADOS ESPERADOS	14
3.4	VALIDAÇÃO	14
3.5	CENÁRIOS DE TESTE	14
4	METODOLOGIA CRONOGRAMA DE DESENVOLVIMENTO	16
	REFERÊNCIAS	17

1. INTRODUÇÃO

1.1 Contextualização

A computação em nuvem tem sido amplamente adotada nos últimos anos por usuários finais e empresas de vários segmentos e portes. As facilidades proporcionadas por este modelo de computação faz com que exista tal preferência, pois segundo a definição adotada pelo NIST [10]: "computação em nuvem é um modelo que permite acesso a um conjunto compartilhado de recursos computacionais configuráveis (por exemplo, redes, servidores, armazenamento, aplicativos e serviços) que podem ser provisionados e liberados com um pequeno esforço de gerenciamento ou interação com provedor de acesso". Toda essa flexibilidade pode justificar o aumento no emprego desse modelo de computação.

Como a computação em nuvem não é Panacéia¹, podemos utilizar a definição de Bonomi, Milito, Zhu e Addepalli [4] que diz: "a computação em nuvem libera as empresas e os usuários finais de muitos detalhes de especificações. Essa facilidade torna-se um problema para aplicações sensíveis à latência, que requerem que nós próximos atendam suas necessidades de forma eficiente". Como a interação entre os nós e os servidores na nuvem ocorrem através da internet, a baixa latência torna-se indispensável para aplicações que requerem eficiência na comunicação entre nós (por exemplo robôs, drones, e carros autônomos). Portanto há uma lacuna entre aplicações que já utilizam modelos de computação em nuvem e aplicações que necessitam de baixa latência de rede e comunicação entre nós próximos, e é nesse hiato que a computação em névoa surge.

A computação em névoa é um assunto relativamente novo e teve sua primeira definição, dada pela Cisco Systems² em 2012, como uma extensão do paradigma de computação em nuvem provendo armazenamento, computação e serviços de rede entre dispositivos finais e os servidores na nuvem [13].

Atualmente a computação em névoa tornou-se um paradigma próprio e não mais uma mera extensão da computação em nuvem. Esse paradigma criou o conceito de *fog nodes*, que abrangem desde dispositivos finais com baixa capacidade computacional até servidores poderosos na nuvem. Assim, os *fog nodes* passam a fazer parte da implementação dos serviços em nuvem. O que torna a computação em névoa interessante é a capacidade dessa variedade de dispositivos cooperarem uns com os outros de forma distribuída.

Em uma abordagem *bottom-up*, podemos descrever a arquitetura da computação em névoa como um conjunto de *edge devices*³ que se comunicam com os *fog nodes*, e es-

¹Mecanismos ou práticas que, hipoteticamente, são capazes de solucionar os problemas e/ou dificuldades [2].

²Empresa estadunidense líder na fabricação de equipamentos de rede [14].

³Dispositivo que controla o fluxo de dados no limite entre duas redes [15].

ses com servidores centrais. Entretanto, a comunicação entre os *fog nodes* e os servidores centrais não é essencial para a execução dos serviços em névoa [13].

1.2 Motivação e justificativa

Serão sete os desafios que a computação em névoa deverá enfrentar para tornar-se realidade, segundo Vaquero e Roderio-Merino [19].

Os problemas referentes à padronização, descoberta e sincronização são os desafios a serem explorados neste trabalho, uma vez que atualmente não existem mecanismos no qual um membro da rede, seja ele uma *raspberry-pi* gerenciando sensores ou um computador, mapeie os recursos disponíveis e divulgue os seus na rede.

1.3 Objetivo

O objetivo principal deste trabalho de conclusão é construir um protocolo de rede que seja capaz de: descobrir, sincronizar e utilizar recursos de nodos em uma rede sob computação em névoa.

O interfaceamento entre os recursos vinculados aos *fog nodes* serão apresentados em forma de simulação, ou seja, os *edge devices* não estarão atrelados aos *fog nodes* de fato.

2. FUNDAMENTAÇÃO TEÓRICA

Este capítulo apresentará alguns protocolos de comunicação e técnicas que servirão de apoio para o desenvolvimento deste TCC. Por fim, alguns trabalhos relacionados a área serão expostos, bem como o posicionamento deste trabalho perante aos demais.

2.1 BGP

O protocolo BGP está situado na quinta camada, a camada de aplicação, do modelo de referência TCP/IP [18]. Abaixo, de forma sucinta, elencaremos algumas funcionalidades básicas do protocolo que embasarão o restante deste trabalho.

- A responsabilidade deste protocolo é manter a troca de informações sobre roteamentos entre sistemas autônomos [11].
- O roteador ao entrar na rede pela primeira vez deve-se conectar ao seu vizinho. Após a conexão estabelecida, os roteadores compartilham entre si suas tabelas de roteamento [11].
- Posteriormente, as atualizações nas tabelas dos roteadores dão-se de forma incremental à medida que as mudanças na rotas ocorrem [11].
- Mensagens de *keep alive* são trocadas periodicamente a fim de garantir conectividade entre os roteadores [11].

2.2 CoAP

Especificado pela RFC-7252, o CoAP, protocolo de aplicação restrita, foi projetado para aplicações máquina-a-máquina e tem como foco a transferência de documentos web entre nodos com recursos limitados em redes de baixa qualidade[17].

O modelo de interação cliente/servidor é o padrão adotado pelo CoAP, entretanto, o fato do protocolo ter sido projetado para aplicações máquina-a-máquina faz com que os dispositivos comumente desempenhem o papel de cliente e servidor simultaneamente.

Quando mensagens CoAP de requisição e resposta são trocadas, estas devem conter o código do método ou código da resposta, respectivamente. Além dos códigos, as mensagens podem conter outras informações, como o recurso que se deseja acessar e o tipo de mídia que se está transportando. Por fim, um token é utilizado para que haja a correspondência entre requisição e resposta.

A Figura 2.1 ilustra uma solicitação entre cliente e servidor, na qual o cliente deseja obter a temperatura. Analisando a troca de mensagens, notamos que o cliente envia uma solicitação não confirmável com token 0x74 e código GET para acessar o recurso temperatura no servidor. O servidor por sua vez retorna o código de resposta 2.05, que indica sucesso, o mesmo token que recebeu na solicitação do cliente e o valor 22.5 C.

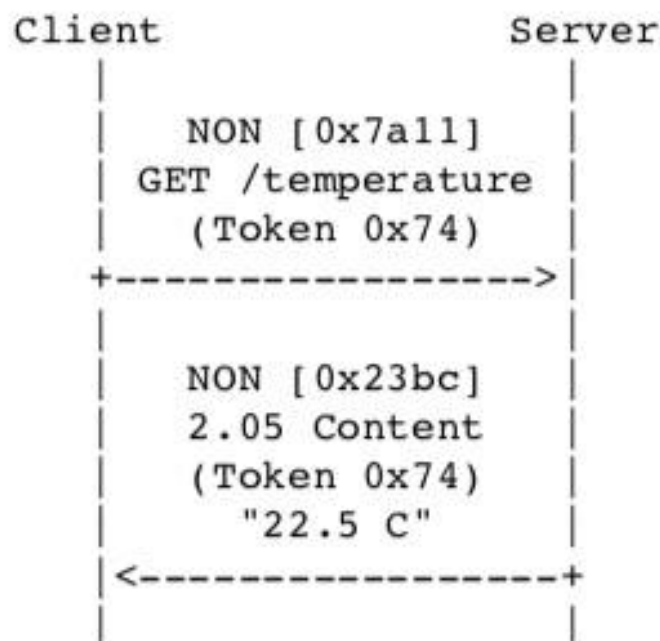


Figura 2.1 – Requisição e resposta utilizando mensagens não confirmáveis.
[17]

A arquitetura REST, assim como no protocolo HTTP[5], foi utilizada na projeção do protocolo CoAP. Como ambos compartilham da mesma arquitetura, realizar o mapeamento de HTTP para CoAP e vice-versa é bastante simples. Para realizar tal mapeamento basta utilizarmos o *cross-proxy*, definido na sessão 10 da própria RFC-7252[17], que converte o método ou tipo de resposta, tipo de mídia e opções para os valores HTTP correspondentes.

Além de modelo de comunicação cliente/servidor e arquitetura REST, o CoAP também dispõem de outros princípios comuns ao HTTP e que são conceitos padrão na web como suporte a URIs[3] e tipos de mídia da Internet(MIME)[7].

Entre o HTTP e CoaP nem tudo são semelhanças, pois, obviamente, este possui particularidades para que consiga atender aos requisitos no qual se propõe a resolver. Entre as diferenças está a troca de mensagens assíncronas utilizando transporte orientado a datagramas, como UDP. Apesar de, naturalmente, o protocolo UDP não prover confiabilidade, no CoAP é possível definir que as mensagens possuam tal aspecto.

Constrained RESTful Environments (CoRE) Link Format, que será abordado na sessão a seguir, possibilidade de envio de solicitações multicast e unicast, *service disco-*

very, cabeçalho com baixa sobrecarga de dados e segurança na forma de DTLS[12] estão entre as principais características do protocolo de aplicação restrita, CoAP.

2.3 Constrained RESTful Environments (CoRE) Link Format

Segundo a RFC-6690, a finalidade deste especificação é realizar REST em nós com recursos limitados sendo importante em aplicações máquina-a-máquina[16]. Em aplicação deste tipo é primordial que as configurações não dependam de interação de humanos, e portanto, que mantenham seu funcionamento sem configurações estáticas.

A principal função desta especificação é fornecer identificadores, denominados URIs, para os recursos hospedados em servidores. Para além, é possível que essas URIs possuam atributos relacionados aos recursos. Estes atributos dividem-se basicamente em dois sendo eles *rt*, *resource type* e *if interface description*.

O primeiro é utilizado para atribuir um nome que descreva de forma clara e enxuta um recurso, já o segundo tem por objetivo indicar uma interface específica que interagirá com o recurso destino.

Um aspecto relevante ao CoRE, e de suma importância para aplicações máquina-a-máquina, é o fato de possuir como URI padrão o prefixo */.well-known/core*, definido na RFC-5785[8]. Este prefixo é utilizado para que o servidor exponha suas políticas e recursos disponíveis.

O protocolo CoAP preve suporte à CoRE e ao prefixo */.well-known/core*. Contudo com esses recursos, é possível traçarmos uma pequena analogia entre esquemas HTTP/HTTPS e *coap/coaps*, este utilizando segurança DTLS. Estes esquemas são utilizados para identificar e localizar os recursos coap na rede. Sendo assim, servidores coap ficam aguardando por requisições que utilizem tal esquema.

Para exemplificarmos, abaixo está um ciclo de requisição e resposta entre um cliente e um servidor com nomenclatura *example.net*. Este cliente deseja saber as políticas e recurso disponíveis pelo servidor e para tal utiliza o prefixo padrão */.well-known/core*.

```
REQ: GET coap://example.net/.well-known/core
```

```
RES: 2.05 Content
```

```
</sensors/temp>;if="sensor",
```

```
</sensors/light>;if="sensor"
```

Analisando a resposta é fácil notar que este servidor possui dois recursos disponíveis, sendo ambos com interface do tipo sensor, porém um utilizado para medir temperatura e outro para medir intensidade de luz. Juntamente aos dados, o código 2.05 é retornado indicando que a operação transcorreu com sucesso.

2.4 Trabalhos Relacionados

Spencer Lewson implementou um protocolo em nível de aplicação [18] capaz de realizar a comunicação entre nodos sob computação em névoa. A especificação do protocolo e um *middleware*, capaz de realizar o gerenciamento dos recursos dos dispositivos, são os principais componentes deste trabalho [9].

Sua implementação requer que haja um ponto central de comunicação entre os nodos, uma vez que a conectividade entre eles ocorre via *Bluetooth LE*. A existência desse ponto justifica-se pelas regras de implementação do *Bluetooth LE*, na qual descreve dispositivos de duas naturezas: centrais e periféricos. Dispositivos centrais são responsáveis por descobrir dispositivos periféricos que estão interessados em criar conexão. Portanto, a característica do *Bluetooth LE* faz com que a topologia de rede e a arquitetura do projeto não seja distribuída [9].

3. PROPOSTA DE TRABALHO

Seguindo a organização arquitetural da Figura 3.1, a proposta deste trabalho é fazer com que um *fog node* conheça, de forma autônoma, os recursos disponibilizados por seus vizinhos. Assim, cada *fog node* saberá quais são os *edge devices* disponíveis na rede, portanto, o nodo que possui o sensor de chuva saberia que existe um outro nodo na rede capaz de medir a temperatura, por exemplo.

Podemos observar na topologia da Figura 3.1, que os nodos não possuem um ponto centralizado de contato. Em razão da topologia distribuída, se for necessário escalar-mos a quantidade de nodos na rede, a mesma não deverá sofrer impactos significativos de performance.

Nas seções a seguir abordaremos a arquitetura, módulos e submódulos que compõem o projeto, bem como resultados esperados, validações e cenários de teste.

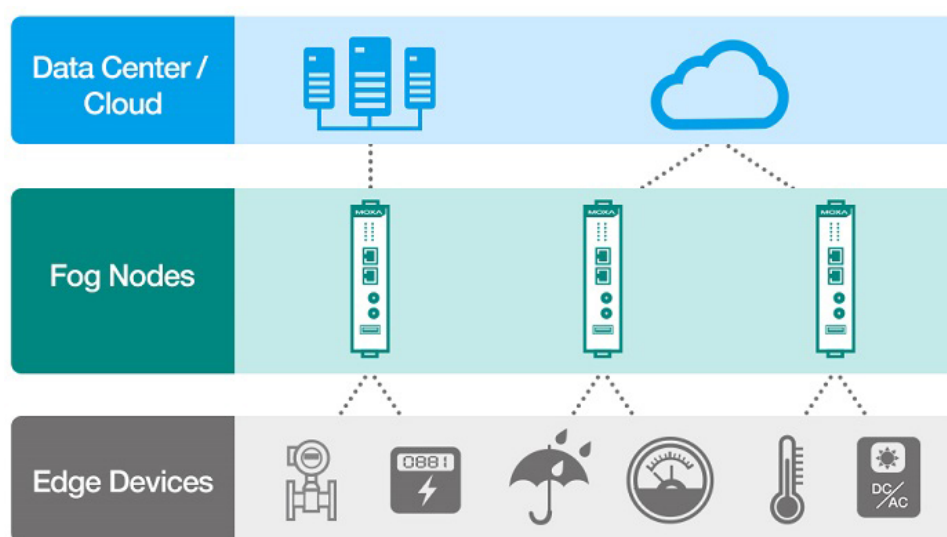


Figura 3.1 – Organização arquitetural.
[1]

3.1 Arquitetura

Esta seção define a pilha de protocolos a serem utilizados neste projeto, bem como a justifica pela escolha dos mesmos. A pilha de protocolos atuará em conjunto com a organização arquitetural previamente definida na Figura 3.1.

A fim de facilitar a compreensão da arquitetura deste projeto, a Figura 3.2 explicita a pilha de protocolos que o projeto fará uso para implementar as funcionalidades propostas.



Figura 3.2 – Pilha de protocolos.

Dispondo do modelo de referência TCP/IP, constituído de cinco camadas: física, enlace, rede, transporte e aplicação [18]. Este projeto utilizará IPv6 no nível de rede e UDP no nível de transporte.

[REVER] A utilização de IPv6 na camada de rede justifica-se pela grande quantidade de endereços válidos na internet que o protocolo provê, pois após o firmamento da internet das coisas é possível que cada dispositivo tenha um endereço IP único. Sendo assim, a escalabilidade, no que diz respeito a quantidade de endereços, está garantida.[REVER]

Manter todos os nodos conectados, utilizando TCP por exemplo, despenderia uma quantidade de tráfego significativo na rede. Além disso, o intuito desta implementação é transitar uma pequena quantidade de dados a cada requisição. Portanto a utilização de datagramas UDP faz sentido neste projeto.

O protocolo proposto, intitulado *Resource Mapping* na Figura 3.2, atuará na camada de aplicação do modelo de referência TCP/IP [18] e será responsável por padronizar, descobrir e sincronizar os nodos da névoa. Os maiores desafios neste modelo proposto são manter o estado global dos recursos acessível a todos os nodos, e garantir que o desempenho seja satisfatório com o objetivo permitir a escalabilidade da solução.

3.2 Módulos

De forma geral, cada nodo da rede deverá manter uma lista com os endereços IP's que fazem parte do mapeamento. Atrelado à cada endereço IP, deverá haver uma lista com os recursos providos por este. Em vista disso, cada nodo portará um mapeamento global de recursos disponíveis na névoa.

O detalhamento das funcionalidades que o projeto deverá dispor, bem como ilustrações relacionadas aos fluxos, serão abordadas nas próximas subseções.

3.2.1 Descoberta e sincronização de recursos

Como primeiro passo do mapeamento, devemos considerar a entrada de um novo nodo, com seus recursos, na rede. No momento em que o nodo dispor de um endereço IP

válido, este deverá enviar um pacote para o endereço de broadcast indicando que possui recursos a serem disponibilizados.

Ao receberem o pacote enviado por broadcast, os nodos que desejarem saber quais recursos estão sendo providos por este novo membro, deverão realizar uma query unicast para o endereço de origem indicando tal intenção.

Sendo assim, quem estiver interessado em obter os recursos do novo nodo, deverá realizar a query utilizando a URI */.well-known/core* do protocolo CoAP. Lembrando que este fluxo de requisição e resposta, utilizando a URI */.well-known/core*, faz com que o nodo requisitado retorne todos seus recurso ao solicitante.

3.2.2 Middleware

O *middleware* utilizado neste trabalho realizará o mapeamento local nos nodos e descobrirá quais são os recursos disponíveis a serem compartilhados na névoa. Utilizaremos uma simulação para realizar tal mapeamento local, portanto o mapeamento de fato não pertence ao escopo deste projeto.

3.3 Resultados esperados

Espera-se que este trabalho resulte em um protocolo funcional a nível de prova de conceito e que seja capaz de descobrir, sincronizar e consumir recursos de dispositivos sob computação em névoa. Além disso, temos como objetivo fazer com que a névoa configure-se de forma autônoma, ou seja, quando um recurso ou nodo entrar ou sair da rede, a mesma deverá manter-se coerente.

3.4 Validação

Para validarmos o funcionamento do protocolo, utilizaremos um simulador de dispositivos a ser definido no decorrer deste TCC. Estes dispositivos executarão o *middleware* citado no item 3.2.1 deste trabalho.

3.5 Cenários de teste

- Entrada de algum equipamento na rede e este anunciando seus recursos.

- Atualização das listas globais quando algum equipamento deixar de responder as mensagens de *keep alive*.
- Utilização de recursos de nodos da rede.
- Desligamento de recursos de algum dispositivo da rede, e posterior a isso, a tentativa de acesso a esse recurso por algum nodo. O equipamento que perdeu o recurso deverá anunciar seus novos recursos atualizando a lista global dos outros nodos da névoa.

4. METODOLOGIA CRONOGRAMA DE DESENVOLVIMENTO

Para construção do projeto utilizaremos Python, em sua versão 3.x, como linguagem de programação. Mais precisamente, utilizaremos a interface de baixo nível de rede da biblioteca padrão da linguagem [6]. Algumas ferramentas para auxiliar o desenvolvimento serão utilizadas, como Visual Studio Code para edição de código e GitHub para o versionamento.

Atividades	Março				Abril				Maio				Junho				Julho			
	1	2	3	4	1	2	3	4	1	2	3	4	1	2	3	4	1	2	3	4
Definição do tema em específico		X	X																	
Elaboração da introdução, motivação e justificativa			X	X																
Elaboração da proposta de trabalho				X	X															
Elaboração da fundamentação teórica					X															
Revisão e refinamento do documento					X															
Entrega do documento						X														
Definição dos capítulos posteriores						X	X													
Aprofundamento teórico						X	X	X	X	X	X	X	X	X						
Elaboração dos próximos capítulos						X	X	X	X	X	X	X	X	X	X					
Revisão do documento final															X	X				
Entrega do documento final																	X			

Figura 4.1 – Cronograma de atividades.

REFERÊNCIAS BIBLIOGRÁFICAS

- [1] “Should you consider fog computing for your iiot?.” Capturado em: https://www.moxa.com/newsletter/connection/2017/11/feat_02.htm, 2018.
- [2] “Significado de panaceaia.” Capturado em: <https://www.dicio.com.br/panaceaia/>, 2018.
- [3] Berners-Lee, T.; Fielding, R.; Masinter, L. “Rfc 3986, uniform resource identifier (uri): Generic syntax”. Capturado em: <http://rfc.net/rfc3986.html>, 2005.
- [4] Bonomi, F.; Milito, R.; Zhu, J.; Addepalli, S. “Fog computing and its role in the internet of things”. In: Proceedings of the First Edition of the MCC Workshop on Mobile Cloud Computing, 2012, pp. 13–16.
- [5] Fielding, R.; Gettys, J.; Mogul, J.; Frystyk, H.; Masinter, L.; Leach, P.; Berners-Lee, T. “Rfc 2616, hypertext transfer protocol – http/1.1”. Capturado em: <http://www.rfc.net/rfc2616.html>, 1999.
- [6] Foundation, P. S. “socket — low-level networking interface”. Capturado em: <https://docs.python.org/3/library/socket.html>, 2018.
- [7] Freed, N.; Borenstein, D. N. S. “Multipurpose Internet Mail Extensions (MIME) Part Two: Media Types”. Capturado em: <https://rfc-editor.org/rfc/rfc2046.txt>, Nov 1996.
- [8] Hammer-Lahav, E.; Nottingham, M. “Defining Well-Known Uniform Resource Identifiers (URIs)”. Capturado em: <https://rfc-editor.org/rfc/rfc5785.txt>, Abr 2010.
- [9] Lewson, S. “Fog protocol and fogkit: A json-based protocol and framework for communication between bluetooth-enabled wearable internet of things devices”, 06 2015.
- [10] Mell, P. M.; Grance, T. “Sp 800-145. the nist definition of cloud computing”, Relatório Técnico, Gaithersburg, MD, United States, 2011.
- [11] Rekhter, Y.; Li, T. “A border gateway protocol 4 (bgp-4)”, 1995.
- [12] Rescorla, E.; Modadugu, N. “Datagram Transport Layer Security Version 1.2”. Capturado em: <https://rfc-editor.org/rfc/rfc6347.txt>, Jan 2012.
- [13] Roman, R.; Lopez, J.; Mambo, M. “Mobile edge computing, fog et al.: A survey and analysis of security threats and challenges”, *CoRR*, vol. abs/1602.00484, 2016, 1602.00484.
- [14] Rouse, M. “Cisco systems, inc.” Capturado em: <https://whatis.techtarget.com/definition/Cisco-Systems-Inc>, 2018.

- [15] Rouse, M. "Edge device." Capturado em: <https://whatis.techtarget.com/definition/edge-device>, 2018.
- [16] Shelby, Z. "Constrained RESTful Environments (CoRE) Link Format". Capturado em: <https://rfc-editor.org/rfc/rfc6690.txt>, Ago 2012.
- [17] Shelby, Z.; Hartke, K.; Bormann, C. "The Constrained Application Protocol (CoAP)". Capturado em: <https://rfc-editor.org/rfc/rfc7252.txt>, Jun 2014.
- [18] Tanenbaum, A.; Wetherall, D.; Translations, O. "Redes de computadores". PRENTICE HALL BRASIL, 2011.
- [19] Vaquero, L. M.; Roderio-Merino, L. "Finding your way in the fog: Towards a comprehensive definition of fog computing", *SIGCOMM Comput. Commun. Rev.*, vol. 44–5, Out 2014, pp. 27–32.